

## АНОМАЛЬНОЕ ГРАВИТАЦИОННОЕ ПОЛЕ И СОВРЕМЕННЫЕ ВЕРТИКАЛЬНЫЕ ДВИЖЕНИЯ ЗЕМНОЙ КОРЫ ВОСТОЧНОЙ ЕВРОПЫ

Статистический анализ аномального гравитационного поля Земли, заданного аномалиями силы тяжести (АСТ), усредненными по площадкам  $5 \times 5^\circ$  ( $550 \times 550$ ) [1], позволил получить средние статистические характеристики поля (дисперсия, математическое ожидание, минимальное и максимальные отклонения и т. д.) для основных геолого-геоморфологических окраин и океанов [1—4].

Выявленные устойчивые качественные связи аномального гравитационного поля Земли указывают на возможность успешного сопоставления его с другими физическими полями Земли, тем более, если в качестве исходной информации взяты дискретные описания исследуемых полей с помощью числовых характеристик, отнесенных к центрам площадок земной поверхности меньших размеров (например, площадки размером  $1 \times 1^\circ$ ).

В настоящем исследовании исходная информация представляет собой массив значений АСТ Земли по площадкам  $1 \times 1^\circ$  [1], ограниченный по широте диапазоном  $35^\circ \dots 80^\circ$  N, а по долготе — диапазоном  $0^\circ \dots 68^\circ$  E, охватывающий всю Восточную Европу и частично территорию ряда стран Западной Европы. Для изучения статистической структуры этой информации было построено поле дисперсий АСТ по известной методике и выполнено районирование аномального гравитационного поля Восточной Европы на регионы, стационарные по дисперсии. Проверка на значимость расхождений дисперсий регионов с помощью критерия Фишера позволила установить, что все аномальное гравитационное поле исследуемой области разделяется на шесть регионов: I —  $D_{\text{ср}} = 115 \cdot 10^{-10} \text{ м}^2/\text{с}^4$ , II —  $D_{\text{ср}} = 267 \cdot 10^{-10} \text{ м}^2/\text{с}^4$ , III —  $D_{\text{ср}} = 646 \cdot 10^{-10} \text{ м}^2/\text{с}^4$ , IV —  $D_{\text{ср}} = 1295 \cdot 10^{-10} \text{ м}^2/\text{с}^4$ , V —  $D_{\text{ср}} = 1818 \cdot 10^{-10} \text{ м}^2/\text{с}^4$ , VI —  $D_{\text{ср}} = 4060 \cdot 10^{-10} \text{ м}^2/\text{с}^4$ .

При этом минимальной дисперсией (I регион) соответствует Кольский полуостров (часть кристаллического массива Фенноскандии), максимальной дисперсией (VI регион) — Кавказ (часть Альпийско-Гималайского складчатого пояса). Эти факты можно объяснить сейсмической активностью указанных регионов. Поскольку ранее выполнены исследования поля современных вертикальных движений земной коры (СВДЗК) [5], то, очевидно, представляется интерес сопоставление статистической структуры данного поля с полем аномалий силы тяжести Восточной Европы. При этом следует отметить, что территория, рассматриваемая в [5] (ограниченная меридианами  $11^\circ$  и  $50^\circ$  и параллелями  $60^\circ$  и  $40^\circ$ ), меньше по площади территории, для которой в [1] исследуется аномальное гравитационное поле. Но поскольку «излишек» территории в [1] в основном падает на водные бассейны, то со-

поставление статистических структур поля СВДЗК и поля аномальной силы тяжести практически выполняется для одинаковой территории.

Приведем основные статистические характеристики поля СВДЗК [5]:

Регионы	$D_{\text{ср}}$ , $\text{м}^2/\text{с}^4$	$V_{\text{плx}}$ , $\text{мг/гол}$	$V_{\text{мин}}$ , $\text{мг/гол}$	$V_{\text{ср}}$ , $\text{мг/гол}$
I	0,95	+ 1,5	- 1,6	- 0,4
II	3,65	- 0,3	- 3,4	- 1,8
III	4,85	+ 5,6	- 4,6	+ 0,3
IV	9,20	+ 8,6	- 5,7	+ 0,8
V	13,11	17,6	- 2,7	+ 2,7

Сравнение географических контуров регионов, стационарных по дисперсии поля СВДЗК и поля аномальной силы тяжести, позволяет сопоставить соответствующие дисперсии:

Регионы поля СВДЗК	Регионы поля АСТ	$D_{v_{\text{ср}}}$ , $\text{мм}^2/\text{с}^4$	$D_{v_{\text{ср}}}$ , $\text{мм}^2/\text{с}^4$
III	II	4,85	267
II—IV	III	7,00	646
IV—V	IV	11,10	920
V	VI	9,20	4060

Анализ приведенных данных позволяет заключить, что между полями СВДЗК и аномальным гравитационным полем исследуемой области существует прямая корреляционная связь. Резкое нарушение этой связи существует в районе Криворожского глубинного разлома. Причиной этого, очевидно, является недостаточность данных о СВДЗК в этом регионе.

На втором этапе работы был выполнен взаимный корреляционный анализ полей СВДЗК и АСТ для отдельных локальных областей Восточной Европы, интересных в геологическом и геофизическом отношении:

Регионы	Коэффициент корреляции	Название геологической структуры
I	-0,030	Балтийский щит и прилегающие с юга области
II	0,480	Венгерская впадина
III	0,184	Сменявшие структуры
IV	0,560	Кавказ и прилегающие области
V	0,170	Криворожский разлом

Из характеристики связи поля СВДЗК и поля АСТ следует: 1. Значимые коэффициенты корреляции соответствуют сейсмически активным областям, принадлежащим району Кавказа, и указывают на прямую зависимость между АСТ и скоростями современных движений земной коры.

2. Для выявления значимых корреляционных связей в областях, содержащих смешанные геолого-геоморфологические структуры, необходима детализация этих областей в геологическом отношении.

3. Незначимость коэффициента корреляции для Криворожского разлома подтверждает недостоверность исходных данных о поле СВДЗК в этом районе.

4. Отрицательный знак коэффициента корреляции для I региона отражает известный факт несоответствия в пределах Финноскандии с контурами и интенсивностью ее послеледникового и современного поднятия. Малая абсолютная величина коэффициента корреляции объясняется присутствием в I регионе территории, лежащей к югу от Финноскандии, что привело к «размазыванию» коэффициента корреляции.

Необходимо отметить, что полученные по всем регионам относительно малые абсолютные значения коэффициентов корреляции объясняются тем фактом, что исходной информацией для взаимного корреляционного анализа двух полей являлись усредненные по одноградусным трапециям значения  $Dg$  и  $V$ . Вполне естественно поэтому поэтом, что на значениях коэффициента корреляции сказался эффект сглаживания.

**Список литературы:** 1. Зазуляк П. М., Зингер В. Е., Киричук В. В. Некоторые вопросы статистической интерпретации аномального гравитационного поля Земли. — В кн.: Изучение Земли как планеты методами астрономии, геофизики и геодезии. К., 1982. 2. Зазуляк П. М., Зингер В. Е., Киричук В. В., Мещеряков Г. А. Поле дисперсионных сил тяжести Земли и геодезические структуры материков. — Теодезия, картография и аэрофотосъемка, 1982, вып. 36. 3. Зазуляк П. М., Зингер В. Е., Киричук В. В., Мещеряков Г. А. Поле дисперсионных сил тяжести Земли и структуры океанического дна. — Геодезия, картография и аэрофотосъемка, 1983, вып. 37. 4. Зазуляк П. М., Зингер В. Е., Киричук В. В., Мещеряков Г. А. Поле дисперсионных сил тяжести Земли и теория глобальной тектоники. — Теодезия, картография и аэрофотосъемка, 1983, вып. 37. 5. Киричук В. В., Скрыль В. Д. О пестрагональности поля скоростей современных вертикальных движений земной коры. — Геодезия, картография и аэрофотосъемка, 1980, вып. 31.

Статья поступила в редакцию 4. 01. 84

УДК 528.28

## К ОПРЕДЕЛЕНИЮ ПОЛОЖЕНИЯ ЗВЕЗДЫ НА АСТРОНЕГАТИВЕ

Для определения времени, широты и азимута астрономически ми методами необходимо вфиксированый момент времени иметь горизонтные и экваториальные координаты небесного светила. Если наблюдения проводятся фотографическим методом [1], то на фотопленке получают изображение неподвижной сетки нитей и прерывистого следа звезды. Время экспозиции регистрируется с помощью хронографа или хронорегистратора [3]. Измерив на стереокомпаратре или другом приборе прямые угольные координаты точек следа и точки  $O$  пересечения верти-

кальной и горизонтальной нитей, находят их разности и получают координаты  $x$  и  $y$  точек следа звезды в системе измерительного прибора, начало которой совмещено с точкой  $O$ .

Дальнейшая обработка негатива заключается в приведении всех моментов экспозиций к одной точке негатива, положение которой можно определить в горизонтной и экваториальной системах сферических координат различными способами. Один из

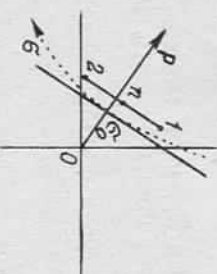


Рис. 1. Схема негатива.

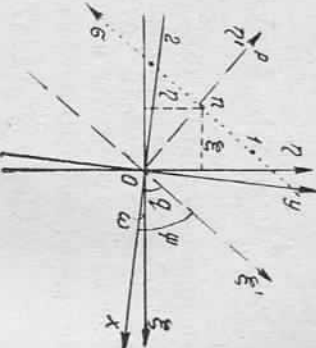


Рис. 2. Взаимное расположение координатных систем.

них описан в [2]. В этом способе моменты экспозиций приводятся к кругу склонений звезды  $\Omega_{\text{об}}$  (рис. 1), определяется расстояние  $O\Omega$  и склонение точки  $O$ , горизонтные координаты которой считаются известными. Таким образом, рассмотренный способ предполагает редуцирование экваториальных координат к точке с известными горизонтальными координатами.

В ряде случаев более удобен прием редуцирования горизонтных координат точки  $O$  к положению звезды в экваториальных координатах. Рассмотрим его подробнее.

В качестве исходных данных, как и в первом способе, принимаем координаты  $x_1, y_1$  опорных точек  $I_1, I_2$  и соответствующие им моменты времени  $T_1$  и  $T_2$ . Опорные точки определяем следующим образом:

находим визуально ближайшую к кругу склонений  $\Omega_{\text{об}}$  точку следа и принимаем ее за точку симметрии; по обе стороны от точки симметрии выбираем одно и то же число точек следа (четыре—шесть);

вычисляем среднее арифметическое из моментов наблюдений и измеренных координат первой половины точек следа, включая точку симметрии, и получаем  $T_1, x_1, y_1$ .

Для второй половины следа звезды так же находим  $T_2, x_2, y_2$ . Экваториальные координаты обеих опорных точек будут иметь значения  $\alpha = \alpha_{\text{об}}$  и  $\delta = \delta_{\text{об}} + \varepsilon$ , где  $\alpha_{\text{об}}$ ,  $\delta_{\text{об}}$  — видимые координаты звезды в средний момент ее наблюдения;  $\varepsilon = \frac{15(T_2 - T_1)^2}{32\rho''} \sin 2\delta$  — поправка, учитывающая кривизну сущенной параллели при обе-